

第1、2章---绪论、离散信号与系统

1. **数字信号处理的优势**：精度高、可靠性高、灵活性强、便于大规模集成化、便于加密处理、对低频信号尤为优越。
2. **模拟域和数字域的频率对应关系**： $\omega = \Omega T$
3. **两大类离散系统**（用差分方程描述）：
 - FIR（非递归型）： $y(n) = \sum_{i=0}^N a_i x(n-i)$
 - IIR（递归型）： $y(n) = \sum_{i=0}^N a_i x(n-i) + \sum_{i=1}^N b_i y(n-i)$
4. **留数法求Z反变换**（此外还有幂级数法、部分分式法）
 - 分母多项式 z 的阶次比分子多项式 z 的阶次高二阶或二阶以上：如果在围线 C 内有多阶极点而 C 外没有多阶极点，可以改求 C 外极点的留数之和并取负号。
 - 否则：要考虑 ∞ 点的留数
5. 一个因果稳定系统的传输函数的全部极点必须在单位圆内。（收敛域最外边极点的外边，需要包含单位圆）
6. **S平面到Z平面的映射关系**（ $x_p(t)$ 的拉氏变换和 $x(n)$ 的Z变换）：

$$z = e^{sT}$$

这是多对一的映射。

7. **Z平面判断系统频率响应**：绕着单位圆转

$$H(e^{j\omega}) = K \cdot \frac{\text{到各零点距离乘积}}{\text{到各极点距离乘积}}$$

- 平面原点处的零极点不影响系统的幅频特性。
- 极点主要影响幅频特性的峰值，越靠近单位圆，峰值越高越尖锐，极点在单位圆上时该点的频响将出现 ∞ ，在单位圆外系统不稳定。
- 零点主要影响幅频特性的谷值，越靠近单位圆谷值越小，在单位圆上时幅度为零，零点可以在单位圆外。

第3章---DFT&FFT

1. **DFS**：离散周期序列，时域上是离散序列的周期延拓（卷积冲激串），频域上是周期性频谱的冲激串采样（乘以冲激串）

$$\text{DTFT} \left\{ \sum_{m=-\infty}^{+\infty} \delta(n - mN) \right\} = \frac{2\pi}{N} \sum_{k=-\infty}^{+\infty} \delta\left(\omega - \frac{2\pi}{N}k\right)$$

$$\tilde{x}(n) = \sum_{r=-\infty}^{+\infty} x(n - rN) = x(n) * \sum_{r=-\infty}^{+\infty} \delta(n - rN)$$

$$\text{DTFT} \{ \tilde{x}(n) \} = \frac{2\pi}{N} \sum_{k=-\infty}^{+\infty} \left(X(e^{j\omega})|_{\omega=\frac{2\pi}{N}k} \right) \times \delta\left(\omega - \frac{2\pi}{N}k\right)$$

记 $\tilde{X}(k) = X(e^{j\omega})|_{\omega=\frac{2\pi}{N}k}$, 周期为 N

$$\tilde{x}(n) = \frac{1}{N} \sum_{k=0}^{N-1} \tilde{X}(k) W_N^{-nk}$$

$$\tilde{X}(k) = \sum_{n=0}^{N-1} \tilde{x}(n) W_N^{nk}$$

其中, $W_N = e^{-j\frac{2\pi}{N}}$

2. **DFT**: DFS的主值序列, 在时域, 频域都只取 $\{0, 1, \dots, N-1\}$

3. DFT的点数不应低于 $x(n)$ 的长度。

4. 两个有限长序列, 时域的循环卷积等于频域的相乘。为什么是循环卷积: 本质上还是DFS取主值序列。

5. N 点循环卷积: 线性卷积结果以 N 为周期延拓后相加

6. **用循环卷积计算线性卷积**:

- 重叠保留法: $x(n)$ 每段 (有效) 输入长为 N , $h(n)$ 长为 M , 则 $x(n)$ 每段长度为 $N + (M - 1)$, 前面补 $(M - 1)$ 个零或者重叠。每一段进行 $N + (M - 1)$ 点循环卷积, 保留后 N 个, 直接拼接。
- 重叠相加法: $x(n)$ 每段 (有效) 输入长为 N , $h(n)$ 长为 M , 则 $x(n)$ 每段长度为 N (无重叠)。分段进行线性卷积, 分段输出长为 $N + (M - 1)$ 。将首尾 $(M - 1)$ 点重叠相加, 进行衔接。

7. **信号的频谱分析**:

频率分辨率: DFT分析频谱时的最小频率间隔

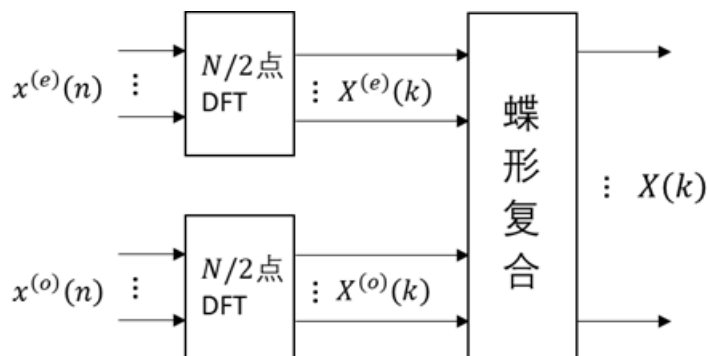
$$\Delta f = \frac{f_s}{N} = \frac{1}{NT}$$

- 栅栏效应: 离散化的频谱。增加DFT点数 (补零) 可以减轻, 但是不会增加频谱分析精度。
- 频域混叠
- 频谱泄露: 时域加窗, 窗函数是有限长的, 在频域上会有拖尾。频谱泄露的存在必然会导致频域混叠。

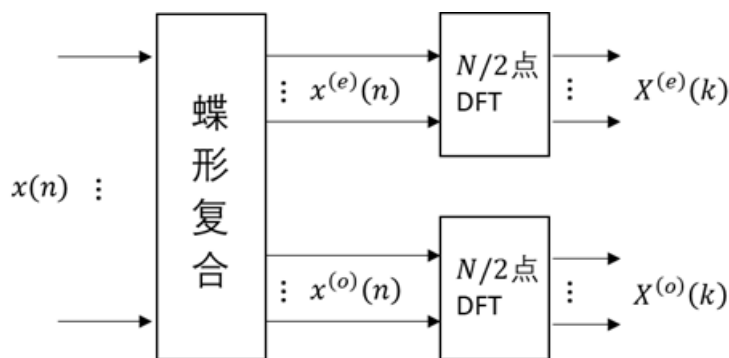
提高频谱准确程度: 时域取样前滤波、选取恰当取样频率、增大窗函数长度、变换窗函数形状。

8. **FFT**: 核心思想是, 通过迭代, 反复利用低点数的DFT完成高点数的DFT计算来降低运算量。**一次蝶形运算包含一次复乘和两次复加**。 N 点FFT, 一共 $\frac{N}{2} \log_2 N$ 次复乘, $N \log_2 N$ 次复加。

- 基2-DIT-FFT



- 基2-DIF-FFT



- 基2-DIT-IFFT

DIT-FFT流图箭头倒转，旋转因子取共轭。由于IDFT公式前面有个系数 $\frac{1}{N}$ ，所以每一级都要乘一个0.5的系数。

第4章-IIR滤波器设计

1. 滤波器性能指标：①过渡带、②通带波动、③阻带最小衰减

2. 数字滤波器的设计过程：

1. 确定滤波器的性能指标
2. 用一个因果系统的传输函数去逼近，可分为IIR和FIR
3. 用一个有限精度的运算去实现这个传输函数，包括选择运算结构（直接型、正准型、级联型、并联型），合适的字长，有效的数字处理方法

3. 模拟原型设计法：

1. 设计模拟低通滤波器（原型低通滤波器）
2. （模拟）频率变换：从低通到高通、带通、带阻
3. 模拟-数字滤波器变换：冲激响应不变法、双线性变换法

4. $H(s)$ 的零极点选择：

1. 根据不同的逼近函数，确定平方幅度响应 $|H(j\Omega)|^2$ 的表达式。
2. 根据 $|H(j\Omega)|^2 = H(s) \cdot H(-s)|_{s=j\Omega}$ ，确定 $H(s) \cdot H(-s)$ 表达式。
3. 极点选取：S平面左半平面的极点，以保证稳定。
4. 零点选取：为了最小相位延迟，取左半平面的零点，虚轴上偶次零点取一半。

5. 巴特沃斯滤波器： Ω_c 为3dB截止频率

$$|H(j\Omega)|^2 = \frac{1}{1 + (\Omega/\Omega_c)^{2N}}$$

- 阶数 N 增大，通带内波动越小，过渡带越窄。
- 低通滤波器的指标：通带截止频率 Ω_p 、3dB截止频率 Ω_c 、阻带起始频率 Ω_s ，通带衰减 A_p (dB)，阻带衰减 A_s (dB)
- 根据给定指标 $A_p, \Omega_p, A_s, \Omega_s$ ，计算满足的最小的 N 。
- $p = \frac{s}{\Omega_c}$ ，归一化极点 $p_k = e^{j\frac{\pi}{2}} e^{j\frac{\pi}{2} \frac{(2k+1)}{N}}$ ，取左半平面的极点，得到归一化传输函数 $H(p)$ 。
- 计算 $H(s) = H(p)|_{p=\frac{s}{\Omega_c}}$

6. 切比雪夫滤波器：

$$|H(j\Omega)|^2 = \frac{1}{1 + \varepsilon^2 C_N^2(\Omega/\Omega_p)}$$

- 和巴特沃斯相比，同样的阶数，切比雪夫的阻带衰减更高。
- 通带内等幅波动， N 越大波动次数越多，通带外单调下降。
- $2N$ 个极点位于S平面的一个椭圆上。

7. 模拟频率变换:

- 对于带通和带阻滤波器, 需要满足: $\Omega_{p_1}\Omega_{p_2} = \Omega_{s_1}\Omega_{s_2}$ 。
- 如果不满足, 需要调节参数: 带通改 Ω_s , 带阻改 Ω_p 。让过渡带变窄。

8. 冲击响应不变法:

- 冲激响应准则: $h(n) = Th_a(nT)$
- 只适用于**带限**或近似带限的模拟滤波器 (**低通和带通**)。不带限或者阻带存在振荡, 不适用。
- 取样间隔 T 太长会产生较大的混叠失真
- $\omega = \Omega T, z = e^{sT}$

9. 双线性变换法:

- 目前最普遍采用的设计方法, 比冲激响应不变法简单, 对滤波器类型没有限制, 低通、高通、带通、带阻都可以直接设计。
- 优点: 不存在频域混叠失真; 代价: 引入了非线性 (**相位失真**)
- 想法: 对模拟滤波器中的基本单元——积分器 s^{-1} 进行数字化实现

$$s = \frac{2}{T} \cdot \frac{1 - z^{-1}}{1 + z^{-1}}$$

- 频率预畸变:** $\omega = \frac{2}{T} \tan \frac{\omega}{2}$

10. IIR滤波器的实现结构:

- 直接 I 型:** 根据IIR定义式直接画; **直接 II 型:** 将 I 型的两块交换位置。
- 正准 I 型:** 将直接 II 型相邻的两个 z^{-1} 合并成一个; **正准 II 型:** 转置定理。
- 直接型和正准型的缺点:** 系统频响对于零极点位置敏感 (受有限字长效应影响大), 尤其当滤波器阶次较高时。调节零极点不方便。
- 级联型:** 由一阶 (实根)、二阶 (共轭复根) 子网络级联而成。便于调节零极点, 但有误差传播。
- 并联型:** 支路互相独立, 误差互不影响, 对有限字长不敏感; 可单独控制极点, 不可调节零点

第5章-FIR滤波器设计

1. IIR和FIR优缺点比较:

- IIR易于实现、**阶数低**, 但无法直接达到线性相位
- FIR可严格**线性相位**, **稳定**系统, 但阶数高, 延迟大

2. 恒相延时和恒群延时:

- 同时成立: $\theta(\omega) = -\frac{N-1}{2}\omega$, $h(n)$ 关于 $\frac{N-1}{2}$ 偶对称
- 仅恒群延时: $\theta(\omega) = \frac{\pi}{2} - \frac{N-1}{2}\omega$, $h(n)$ 关于 $\frac{N-1}{2}$ 奇对称
- 当 $h(n)$ 偶对称、 N 为偶数, 或者当 $h(n)$ 奇对称、 N 为奇数, $H(\pi) \equiv 0$, 不能有高通部分

3. 线性相位FIR滤波器零点分布特性: $z_i, z_i^*, \frac{1}{z_i}, \frac{1}{z_i^*}$

4. 窗函数法: 时域设计方法

- 过渡带宽度**取决于窗谱的**主瓣**宽度。对某一特定窗函数, 增大窗的宽度 N 可使过渡带变窄。
- 波动**由窗谱的**旁瓣**引起, 幅度取决于旁瓣相对幅度, 多少取决于旁瓣数量。波动幅度强弱取决于窗函数。
- 窗函数**影响过渡带宽、肩峰和波动大小。
- 要求: 主瓣宽度尽可能窄, 以使过渡带尽量陡; 最大旁瓣相对于主瓣尽可能小。两者相互矛盾。通常**增加主瓣宽度换取对旁瓣的抑制**。
- 设计流程: ①由阻带衰减确定窗函数类型; ②由过渡带宽确定窗口长度 N
- 窗函数: 矩形窗 (-21dB, $\frac{1.8\pi}{N}$), 汉宁窗 (-44dB, $\frac{6.2\pi}{N}$), 海明窗 (-53dB, $\frac{6.6\pi}{N}$)

5. 频率取样法: 频域设计方法

- **缺点**：不能精确确定通带和阻带的边缘频率。
- 根据频域抽样点 $H(k) = H_k \cdot e^{j\theta_k}$ ，用变换域内插公式得到频率响应 $H(e^{j\omega})$
- 在截止频率 ω_c 处不跳变，人为插一个值，能够减小通带和阻带的波动，但会增加过渡带宽度。
- 如果不允许增加过渡带宽，又希望可以增加阻带衰减，可以增加取样点数 N 。

6. FIR滤波器的实现结构：

- 对于 $N - 1$ 阶滤波器：在 $z = 0$ 处有 $N - 1$ 阶极点，在 z 平面上有 $N - 1$ 个零点
- 直接型： $H(z) = \sum_{n=0}^{N-1} h(n)z^{-n}$
- 级联型： $H(z)$ 因式分解成一阶/二阶因式乘积。每个子网络控制一对零点，可以独立调整，系统特性随 **零点位置变化的灵敏度** 优于横截型。所需的乘法运算量比直接型多。
- 频率取样型：根据 $H(k)$ 到 $H(z)$ 的变换域内插公式，将 $H(z)$ 的实现分为 梳状滤波器 \times 无耗并联谐振器

$$H(z) = \frac{1 - z^{-N}}{N} \sum_{k=0}^{N-1} \frac{H(k)}{1 - W_N^{-k} z^{-1}}$$

理论上前者在单位圆上的零点和后者在单位圆上的极点能够抵消，但前者通过延时实现，是精确的，后者通过复乘实现，是不精确的。此时，零极点抵消不完全可能导致系统不稳定。需要将两者移到单位圆内。

优点：可以通过修改某一路的 $H(k)$ 来调整频率响应；当 $H(k) = 0$ 较多时，可以减少支路数量；并行计算

- 线性相位FIR滤波器： $h(n)$ 有奇对称或者偶对称的特性，利用这一点，系统结构比直接型少一半乘法器。

第6章-有限字长效应

1. **定点制**：在整个运算中小数点在数码中的位置不变，在符号位和数据位之间。 L 是数据的位数，表示寄存器长度为 $L + 1$ 位，或字长 $L + 1$ 位。定点制在整个运算过程中，所有运算结果的绝对值都不超过1。

补码表示中：最小的数 -1 ，最大的数 $1 - 2^{-L}$ 。

2. **定点运算的缺点**：①动态范围小；②舍入/截断产生的百分比误差随着数的绝对值的减小而增加。

3. **浮点制**： $x = \pm M \times 2^{\pm c}$

规格化的尾数 $\frac{1}{2} \leq M < 1$ 。

加法为将较小的一个数的尾数右移，直到两数的指数相同，然后尾数相加。乘法为尾数相乘，指数相加。

浮点制的 **尾数字长** 决定它的 **运算精度**，而 **指数字长** 决定了它的 **动态范围**。优点为增加动态范围和提高处理精度。硬件实现时成本根本增加，处理速度减慢。

4. **量化间距**： $q = 2^{-L}$

5. **量化误差**： $e = Q[x] - x$

- 舍入： $-\frac{q}{2} \leq e \leq \frac{q}{2}$, $m_e = 0$, $\sigma_e^2 = \frac{q^2}{12}$
- 截尾： $-q \leq e \leq 0$, $m_e = -\frac{q}{2}$, $\sigma_e^2 = \frac{q^2}{12}$

6. 寄存器字长每增加**一位**，信噪比近似提高**6dB**。

7. **极点灵敏度**：系数 b_k 引起极点 z_i 位置的变化率： $\frac{\partial z_i}{\partial b_k}$

8. **IIR滤波器系数的有限字长带来的误差**：直接型误差 > 级联型误差 > 并联型误差。

9. 极限环振荡：

- 颗粒型极限环振荡：没有输入后，衰减到一定幅度范围
- 溢出振荡：加法器溢出，正数突变为负数

第7章-多抽样率系统

1. **模拟域方法的主要缺点：**由于 D/A 和 A/D 环节会引入信号重构和量化噪声，因此使信号产生失真。
2. 抽取后仍符合抽样定理的条件要求（2倍最高频率）则不会引入失真。一般需要在抽取操作之前对信号进行限带处理。频谱展宽变为 D 倍，幅度变为 $1/D$ 。抽取后不产生混叠失真，原信号 $x(n)$ 的带宽必须限制在 $[-\pi/D, \pi/D]$ 内。
3. 以整数因子 I 内插，得到了一个抽样率提高 I 倍的信号，频谱收缩变为 $\frac{1}{I}$ ，幅度变为 I 倍。却存在一个**镜像失真**的信号，需要用增益为 I 的低通滤波。
4. **多抽样率系统的高效实现：**
 - 多相实现：将 FIR 滤波器的 $h(n)$ 分为 M 组，每组长度为 L 。 L 为抽取/内插倍率。
 - 直接实现：令分组数 $M = 1$ ，分组长度 $L = N$ ，退化为直接型。再利用抽取/内插的流图。
 - 线性相位 FIR 的高效结构：直接实现的基础上，根据 $h(n)$ 对称性，减少一半乘法器。